

MAGNETSKA ISTRAŽIVANJA KOMBINACIJOM RAZLIČITIH MAGNETOMETARA

Tihomir GREGL i Željko ZAGORAC

Rudarsko-geološko-naftni fakultet Sveučilišta u Zagrebu, Pierottijeva 6, 41000 Zagreb, Hrvatska

Ključne riječi: Geomagnetika, Protonski magnetometri, Kvaliteta mjerjenja.

Analizirana je kvaliteta mjerjenja s dva modela protonskih magnetometara, koji su konstruirani na principu nuklearne magnetske rezonancije, ali se razlikuju u izvedbi. Također je ispitana mogućnost njihovog zajedničkog rada.

Key-words: Geomagnetics, Proton Magnetometers, Quality of Measurements.

Quality of measurements is analysed using two models of proton magnetometers, based on the principle of the nuclear magnetic resonance, but of different design. Possibilities of their simultaneous use is also investigated.

Uvod

Katedra za primijenjenu geofiziku i rudarska mjerjenja nabavila je 1979. godine protonski magnetometar model GM-122, firme Barringer Research Limited, Canada. Od firme Gem Systems Inc. Canada, Katedra je 1990. god. dobila na dar dva komada protonskih magnetometara, model GSM-18, zahvaljujući gosp. dr. sc. I. Hrvoiću, dipl. ing., koji je njihov konstruktor i proizvođač.

Oba modela su konstruirani na principu nuklearne magnetske rezonancije (Hrvoić, 1972), međutim, razlikuju se u izvedbi. Model GM-122 na naredbu oprašača obavi mjerjenja a rezultat na pokazivaču (display) zapiše zapisničar. Instrumetni GSM-18 imaju ugrađen mikroprocesor i memoriju. To im omogućuje da mjerjenje obave prema naredbi ili automatski u programirano vrijeme. Imaju mogućnost sinkronog mjerjenja dnevne promjene na bazi s mjerjenjima na terenu, pohranjivanja izmjerjenih podataka, obavljanja korekcije s dnevnom promjenom i mogućnost reprodukcije podataka (na pokazivač, pisač ili disketu) (Hrvoić, 1987).

Budući da se instrumenti u svojoj konstrukciji razlikuju, oni imaju različite mogućnosti rada. Ponedjeljkom istraživanjima usporedena je kvaliteta njihovih mjerjenja, mogućnost zajedničkog rada te optimalne mogućnosti njihove primjene. Rješavanje te problematike je specifični zadatak, pa su u tu svrhu razvijene odgovarajuće metode mjerjenja i obrade podataka te izabrani povoljni parametri za usporedbu.

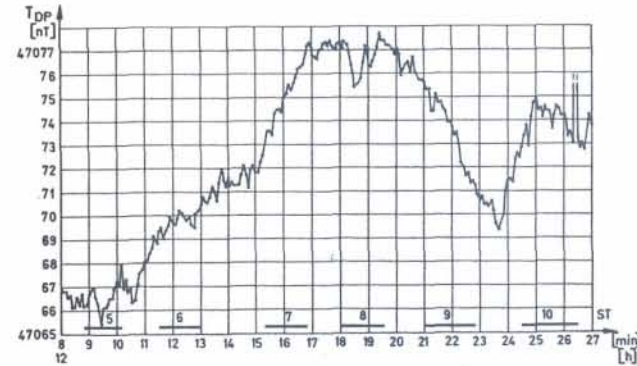
Na terenskim mjerjenjima sudjelovali su tehničar Mladen Pejaković i studenti RGN-fakulteta.

Metoda mjerjenja

Pri geomagnetskim mjerjenjima na terenu potrebno je radi korekcije dobivenih podataka poznavanje promjena magnetskog polja zemlje tijekom dana (dnevne promjene) (Breiner, 1973).

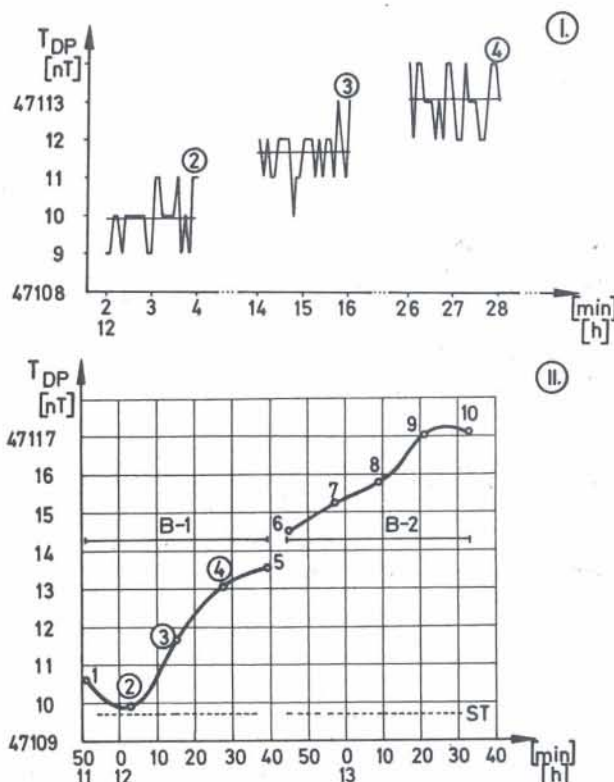
Dnevne promjene mogu se dobiti od geomagnetskog opservatorija, ili ih možemo sami izmjeriti. Korištenje podataka iz geomagnetskog opservatorija je nepraktično. Najbolji se rezultati postižu mjerjenjem s više instrumenata. Jedan instrument ostaje u bazi, a drugi mjeri(e) po terenu. Raspolaže li se samo s jednim instrumentom problem je dobiti točne podatke o dnevnoj promjeni. U tom se slučaju u početku i na kraju radnog dana izmjeri podatak o dnevnoj promjeni u bazi. Tijekom dana se između ta dva mjerjenja vraća što češće u bazu. Terenske prilike zbog ekonomičnosti rada ne dopuštaju višekratni dolazak u bazu. Može se pomoći s podacima koji se dobivaju ponavljanjem mjerjenja na bilo kojem stajalištu na terenu. Ti su podaci relativni i oni samo ukazuju na trend dnevne promjene u opažano vrijeme.

Ovaj rad ukazuje na mogućnost poboljšanja točnosti mjerjenja s instrumentom GM-122 u kombinaciji s instrumetnima GSM-18. Pošto instrument GM-122 nema mogućnost sinkronog mjerjenja, potrebno ga je improvizirati. Mjerjenja su provedena tako da



Sl. 1.1 Isječak iz dijagrama dnevne promjene (T_{DP}) mjerene instrumentom GSM-18 i označe vremena opažanja na stajalištima (ST) profila od 5 do 10

Fig. 1.1 Part of the daily variation (T_{DP}) graph, measured with the magnetometer GSM-18. Reading times on the stations (ST) on profiles 5 to 10 are marked



Sl. 1.2 Dijagram dnevne promjene (T_{DP}) mjerene instrumentom GM-122 (II.) i opažanja tri intervala dnevne promjene (I.).

Fig. 1.2 Graph of the daily variation (T_{DP}) measured with the instrument GM-122 (II.), three intervals of measurements are given (I.).

se instrument GSM-18 sinkronizira sa satom zapisničara.

Podaci mjerena svakog modela magnetometra prikazani su pojedinačno i njihov zajednički rad. Oznaka B korištena je za magnetometar firme Barringer, a oznaka G za magnetometar firme Gem. Na terenu su obavljena mjerena u slijedećim kombinacijama:

Bazni	G	G	B	B
Mobilni:	G	B	G	B

U tekstu će pri oznaci kombinacije prvo slovo označiti koji je instrument bio bazni, a drugo koji je bio mobilni.

Mjerena su obavljena na Zagrebačkoj gori, na cesti Kraljičin Zdenac – Medvedgrad. Mjereni je profil imao dvije baze i 10 točaka. Baze su bile svaka s jedne strane profila. Baza 1 (b-1) bila je pored točke 1, a baza 2 (b-2) pored točke 10.

Prilikom mjerena sinkronizacija je bila odabrana na 5 sekundi. To znači da su instrumeneti za mjerene dnevne promjene bili programirani izvoditi očitanja svakih 5 sekundi. Ako su radili kao mobilni tada su nakon naredbe za mjerene pričekali slijedeće programirano vrijeme od 5 sekundi i tada izvršili mjerene. Pri mjerenu s instrumentom B mjerilo se prema satu zapisničara na 5 sekundi (preporuča se da opažač nema sat).

Mjerena prve tri kombinacije obavljana su s dva instrumenta. Jedan je instrument bio na bazi (bazni),

a drugi je pomican od točke do točke duž profila (mobilni). Mjerena su obavljena tako da su se pri mjerenu dnevne promjene na b-1 izmjerile točke na profilu od 1 do 10, te ponovo od 10 do 1. Zatim se mjereno dnevne promjene na b-2 mjereno na profilu ponovilo. Time se na svakoj točki obavilo četiri grupe mjerena. Pri svakom mjerenu na pojedinom stajalištu učinjena su 20 očitanja. Shema kretanja duž profila prikazana je na slikama od 2. 1. (II.) do 2. 4. (II.).

Kod mjerena prve dvije kombinacije dnevna promjena mjerena je instrumentom G kontinuirano svakih 5 sekundi tijekom cijelog vremena opažanja. U prvoj je kombinaciji instrument G bio i mobilni, pa nije bilo problema u sinkronom vremenu, jer su instrumenti bili tako programirani prije početka rada. U drugoj je kombinaciji mobilni bio instrument B. Tada je prije početka rada bio uskladen »ugrađeni sat« instrumenta G sa satom zapisničara na točno vrijeme od 5 sekundi. Primjer mjerena dijela dnevne promjene instrumentom G prikazan je na sl. 1.1. (II.).

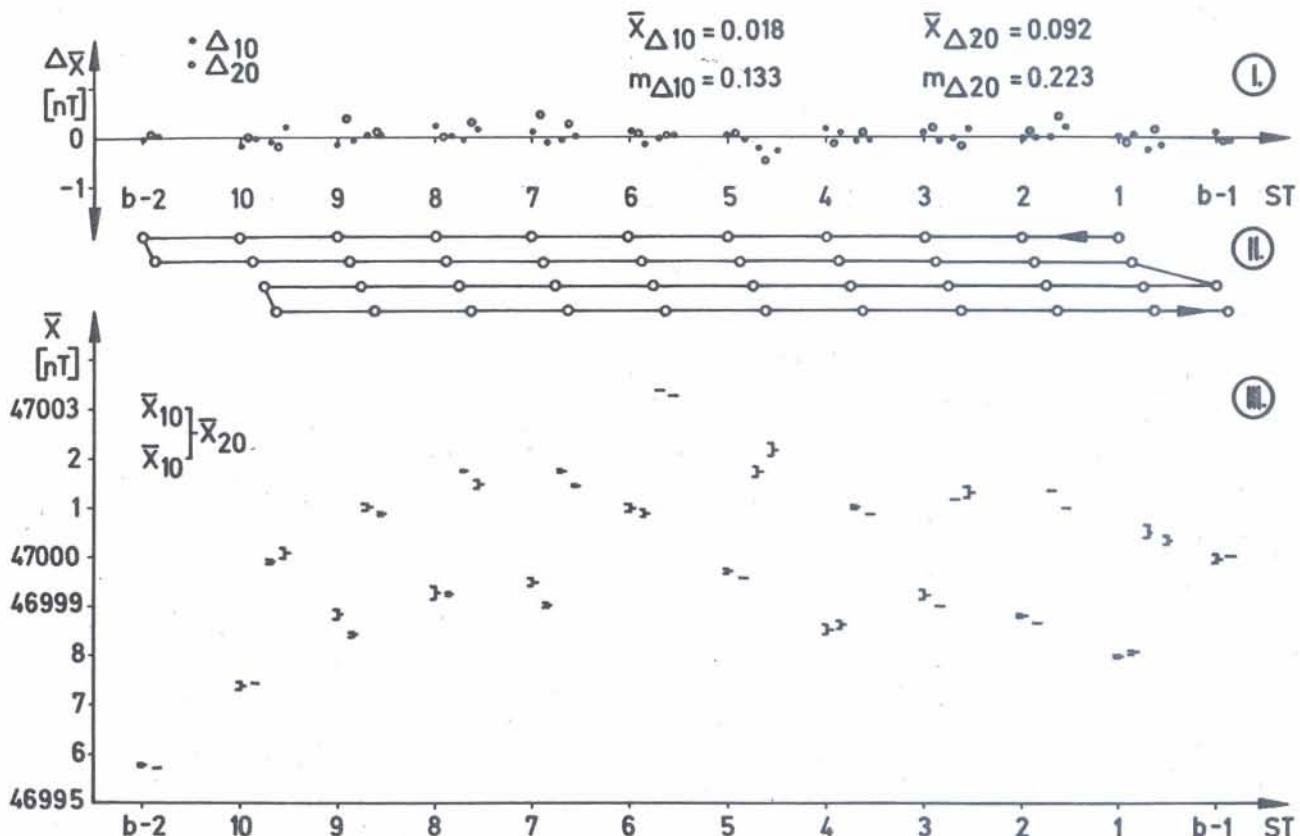
U trećoj kombinaciji u bazi je bio instrument B. Prije početka rada uskladjeni su satovi kao i u kombinaciji 2. Budući da instrument B može raditi samo prema naredbi opažača, dnevna se promjena opažala diskontinuirano. Opažanje je obavljeno tako da se očitalo 25 podataka svakih 5 sekundi, a zatim je bila stanka od 10 minuta, pa ponovo 25 očitanja itd. Takvim postupkom dobilo se 5 mjerena dnevne promjene na b-1 i 5 mjerena na b-2.

Mjerena u četvrtoj kombinaciji izvođena su samo s jednim instrumentom (B) u bazama i na točkama profila. Redoslijed je mjerena bio slijedeći: izmjerila se dnevna promjena u b-1 (25 očitanja), zatim se mjerilo po točkama profila od 1 do 10 (20 očitanja/točka) te ponovo dnevna promjena u b-1 i na točkama profila 10–1 i završno dnevna promjena u b-1. Na isti način izvedena su mjerena na točkama profila, ali uz mjerene dnevne promjene u b-2. Ova mjerena dnevne promjene izvedena su u relativno malim vremenskim razmacima. Primjer dijela konstrukcije dijagrama dnevne promjene mjerene instrumentom B prikazan je na sl. 1.2.

Obrada podataka mjerena

Protonski magnetometri mjeraju jakost totalnog magnetskog polja, a izmjerena vrijednost označena je simbolom T_m . Dnevna promjena magnetskog polja ima oznaku T_{DP} . Korigirana vrijednost izmjerene jakosti magnetskog polja s dnevnom promjenom označena je simbolom T .

Pri mjerenu prve kombinacije (G-G) korekcija se izvodi automatski. Po završetku terenskog mjerena oba se instrumenta povežu jednim kabelom i mobilnom se instrumentu dade odgovarajuća naredba. On tada prema svom memoriranom vremenu mjerena potraži u baznom instrumentu za to isto vrijeme izmjerenu T_{DP} , »očita« ju, i s njom u svojoj memoriji korigira izmjerene vrijednosti T_m i takvu vrijednost T također memorira. Račun korekcija za čitav dan mjerena gotov je za par minuta. U ostalim kombinacijama takva korekcija obračunava se »ručno«.



Sl. 2.1 Dijagram statistički obradenih podataka mjerena izračunatih po stajalištima (ST) za mjerenu kombinaciju G-G:
 I. razlike aritmetičkih sredina Δ_{10} i Δ_{20}
 II. obilazak stajališta duž profila
 III. aritmetičke sredine \bar{X}_{10} i \bar{X}_{20}

Fig. 2.1 Diagram of statistically processed measured data, computed on stations for the measurement combination G-G:
 I. differences of arithmetic means Δ_{10} and Δ_{20}
 II. succession of measurements on profiles
 III. arithmetic mean values of \bar{X}_{10} and \bar{X}_{20}

Kod mjerjenja druge kombinacije izmjerena T_{DP} instrumentom G ispisala se uz odgovarajuću naredbu na štampaču, a korekcija T_m izračunava se u zapisniku mjerena.

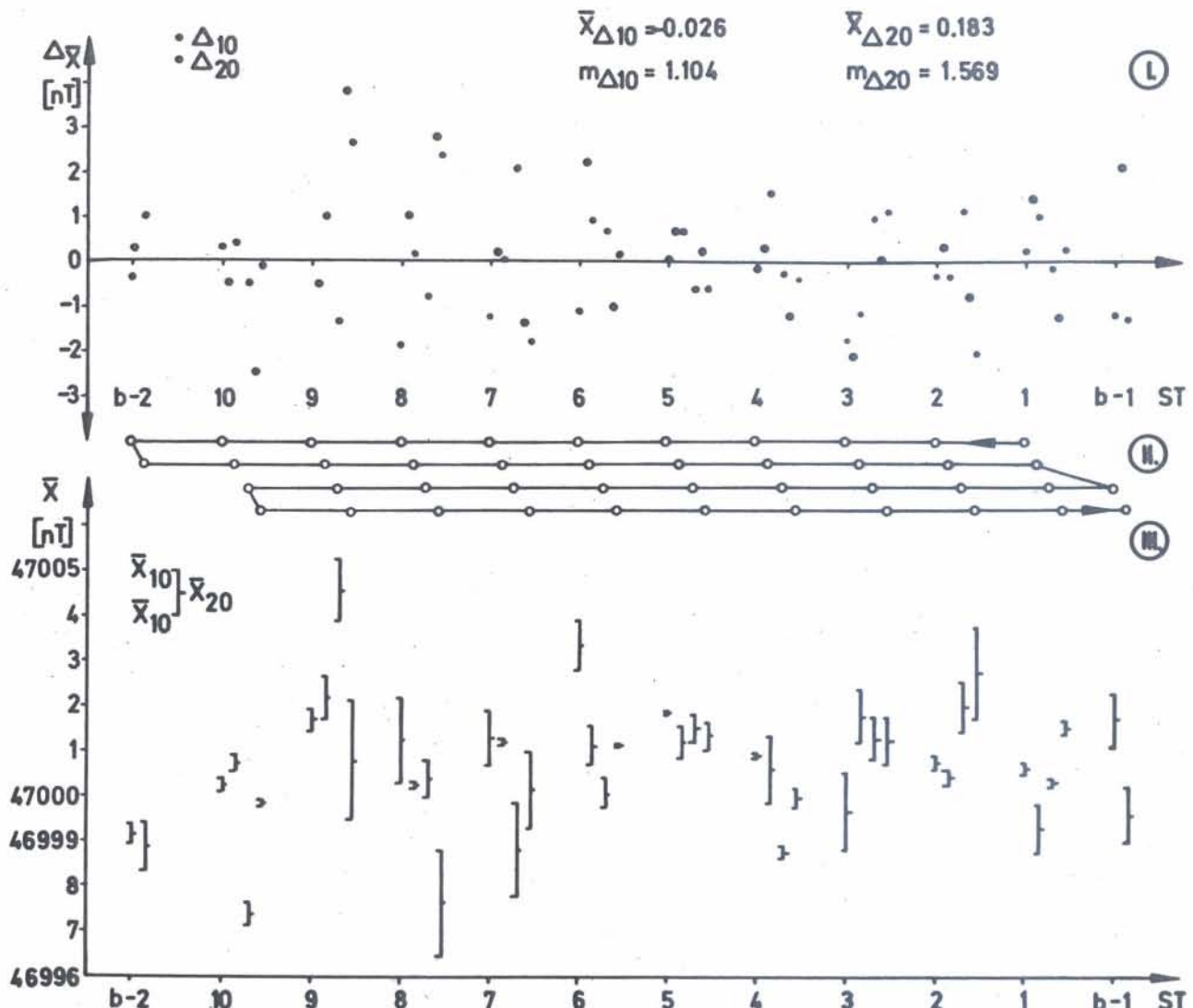
Primjer dijela dijagrama dnevne promjene (19 minuta) za drugu kombinaciju prikazan je na sl. 1. 1. U tom je primjeru mjereno trajalo 3 sata. To znači da cijeli dijagram ima $3 \times 60 \times 12 = 2160$ podataka. Kada bi se u dijagram unijeli svi podaci mjerena s razmakom 1 mm, dijagram bi bio dugačak 2160 mm. Na segmentu toga dijagrama (sl. 1. 1) osim osnovne izmjene DP u 24 sata, postoje oscilacije kao šum smetnji instrumenta i značajne oscilacije od 8 nT tijekom 4 minute. Na toj je slici prikazano i vrijeme opažanja na stajalištu od 5 do 10. Prilikom mjerena na stajalištu broj 9 dnevna promjena je 4,7 nT.

U trećoj i četvrtoj kombinaciji dnevna promjena mjerena je instrumentom B u intervalima 5 sekundi s 25 očitanja. Od tako dobivenih 25 podataka izračunala se aritmetička sredina. Za taj interval opažanja izračunala se sredina vremena mjerena. Ti su se podaci unijeli u dijagram: T_{DP} – vrijeme. Dobivene točke spojene su pretpostavljenom »krivuljom« u dijagram dnevne promjene. Iz tog dijagrama očitava se iznos T_{DP} za korekciju T_m prema vremenu opažanja.

Primjer konstrukcije dijagrama dnevne promjene iz podataka treće kombinacije mjerena prikazan je

na sl. 1. 2. Prikazana su samo 3 mjerena dnevne promjene (bilo je 10 mjerena). Ova krivulja dnevne promjene je »glatka« u odnosu na primjer krivulje dnevne promjene u sl. 1. 1.

S korigiranim vrijednostima T pristupilo se daljoj obradi. Podaci T za pojedina stajališta u sebi sadrže svoju individualnu vrijednost. Zbog toga se njihove vrijednosti radi ocjene kvalitete mjerena međusobno ne mogu usporediti. Da bi se mogla izvesti usporedba kvalitete mjerena, potrebno je utvrditi metodiku mjerena i obradu. Provedenom metodom mjerena dobiveni su podaci od 20 očitanja svakog mjerena na pojedinom stajalištu. Na svakom su stajalištu izvedena 2 mjerena uz jednu bazu i 2 mjerena uz drugu bazu. Svako mjereno od 20 očitanja podjeljilo se u dvije grupe. Za sve formirane grupe očitanja mjerena izračunate su aritmetička sredina (\bar{X}), srednja pogreška jednog mjerena – standardna devijacija (m) i srednja pogreška aritmetičke sredine – standardna pogreška (M) (Čubranić, 1958; Macarol, 1950). Taj račun dao je za svako stajalište: za grupu od 10 očitanja 8 podataka (\bar{X}_{10} , m_{10} i M_{10}), za 20 očitanja 4 podatka (\bar{X}_{20} , m_{20} i M_{20}) i za grupe od 40 očitanja 2 podatka (\bar{X}_{40} , m_{40} i M_{40}). Iz tih aritmetičkih sredina izračunale su se razlike Δ_{10} , Δ_{20} i Δ_{40} . Za svaku grupu tih razlika su se također izračunale veličine \bar{X} , m i M za pojedinu kombinaciju mjerena. Dobiveni podaci \bar{X}_{10} , \bar{X}_{20} , Δ_{10} , Δ_{20} , $\bar{X}_{\Delta_{10}}$, $\bar{X}_{\Delta_{20}}$, $m_{\Delta_{10}}$ i $m_{\Delta_{20}}$ za svaku kombinaciju

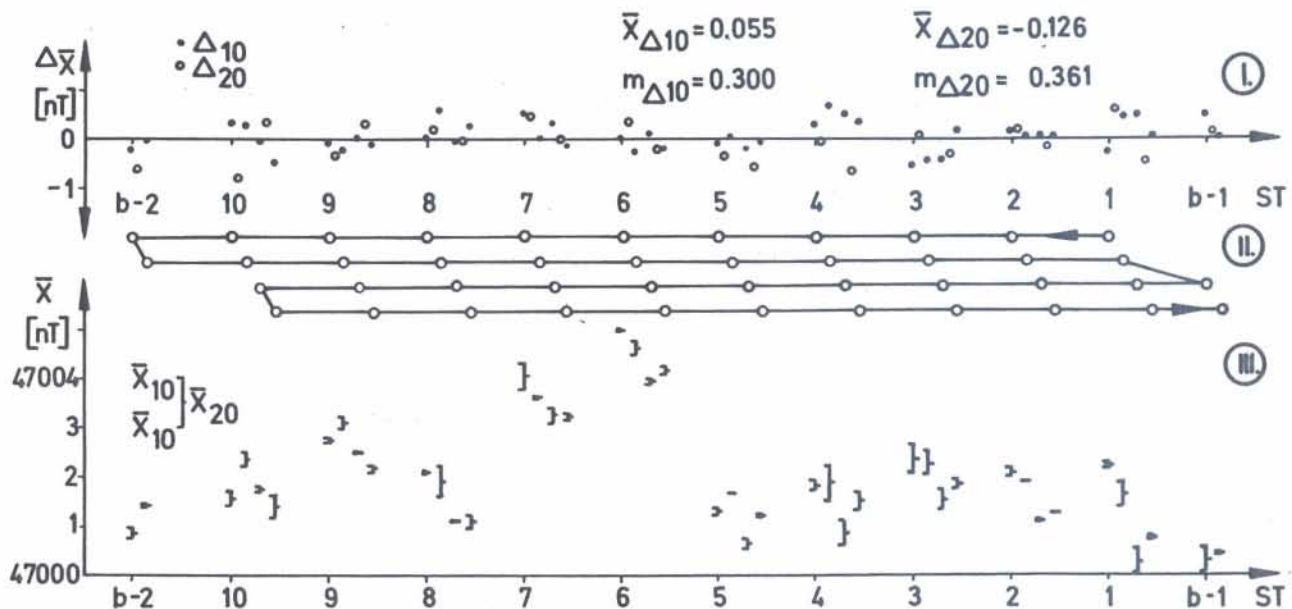


Sl. 2.2 Dijagram statistički obradenih podataka mjerenja izračunatih po stajalištima (ST) za mjerenu kombinaciju G-B:

- I. razlike aritmetičkih sredina Δ_{10} i Δ_{20}
- II. obilazak stajališta duž profila
- III. aritmetičke sredine \bar{X}_{10} i \bar{X}_{20}

Fig. 2.2 Diagram of statistically processed measured data, computed on stations for the measurement combination G-B:

- I. differences of arithmetic means Δ_{10} and Δ_{20}
- II. succession of measurements on profiles
- III. arithmetic mean values of \bar{X}_{10} and \bar{X}_{20}

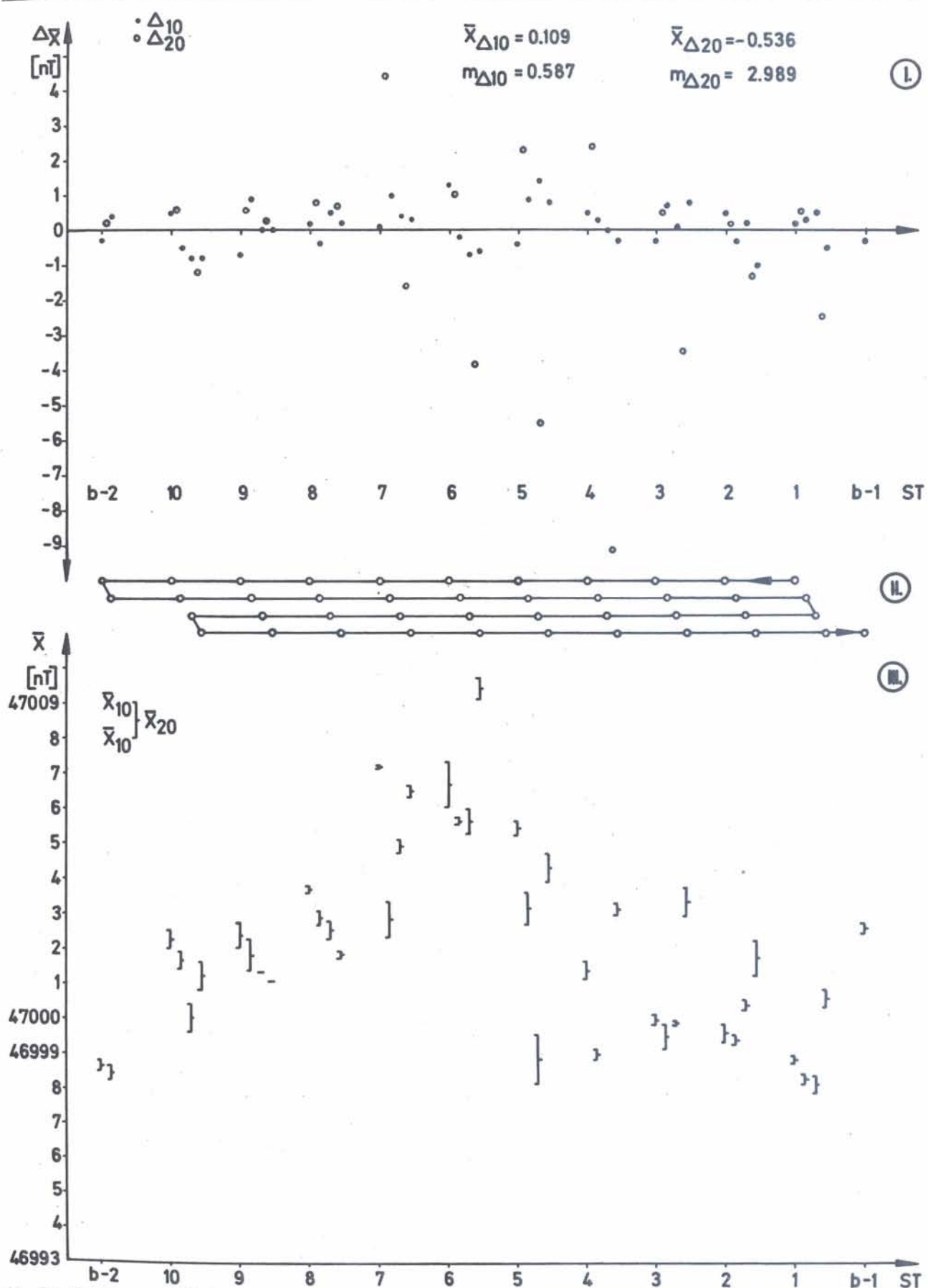


Sl. 2.3 Dijagram statistički obradenih podataka mjerenja izračunatih po stajalištima (ST) za mjerenu kombinaciju B-G:

- I. razlike aritmetičkih sredina Δ_{10} i Δ_{20}
- II. obilazak stajališta duž profila
- III. aritmetičke sredine \bar{X}_{10} i \bar{X}_{20}

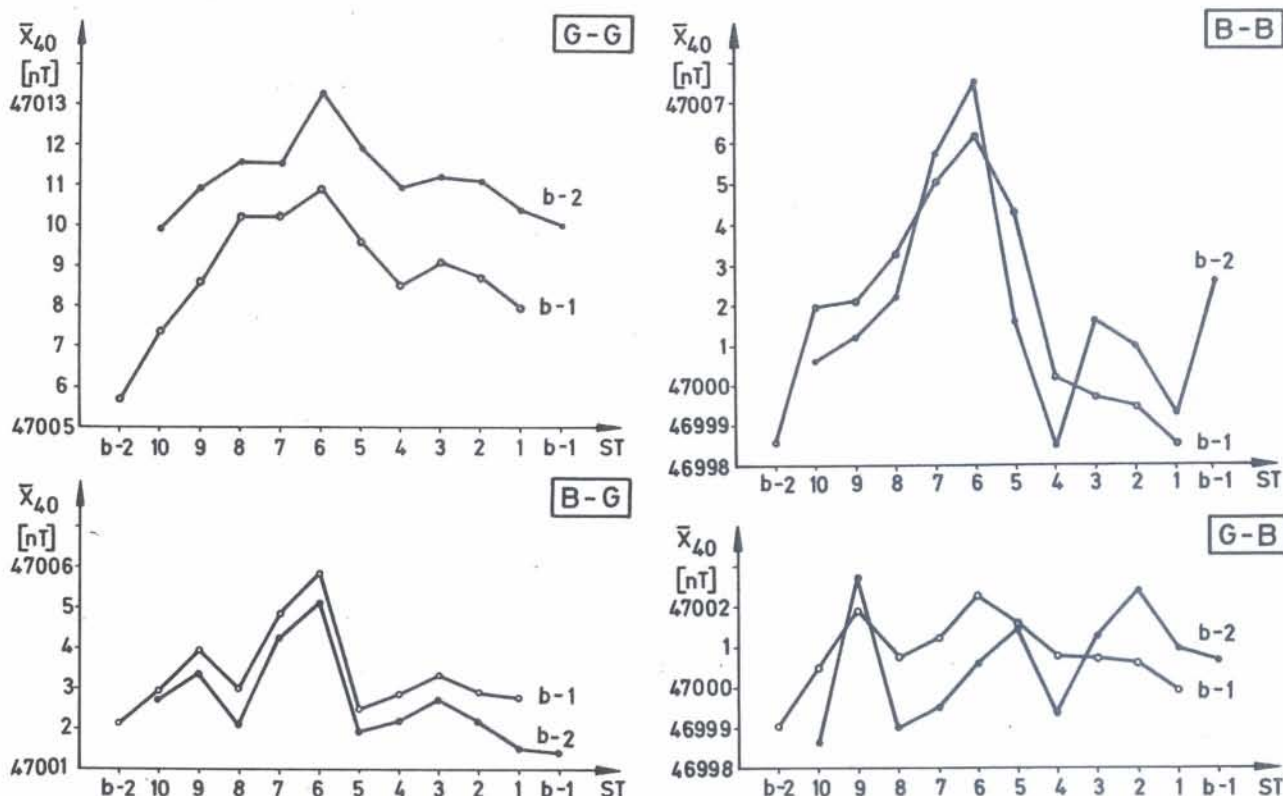
Fig. 2.3 Diagram of statistically processed measured data, computed on stations for the measurement combination B-G:

- I. differences of arithmetic means Δ_{10} and Δ_{20}
- II. succession of measurements on profiles
- III. arithmetic mean values of \bar{X}_{10} and \bar{X}_{20}



Sl. 2.4 Dijagram statistički obrađenih podataka mjerena izračunatih po stajalištima (ST) za mjerenu kombinaciju B-B:
 I. razlike aritmetičkih sredina Δ_{10} i Δ_{20}
 II. obilazak stajališta duž profila
 III. aritmetičke sredine X_{10} i X_{20}

Fig. 2.4 Diagram of statistically processed measured data, computed on stations for the measurement combination B-B:
 I. differences of arithmetic means Δ_{10} and Δ_{20}
 II. succession of measurements on profiles
 III. arithmetic mean values of X_{10} and X_{20}



Sl. 2.5 Dijagrami aritmetičkih sredina \bar{X}_{40} podataka mjerena izračunatih po stajalištima (ST) i korigiranih s dnevnom promjenom na b-1 i b-2

Fig. 2.5 Diagrams of arithmetic means \bar{X}_{40} of measured data computed on stations (ST) and corrected for daily variation on b-1 and b-2

mjerena prikazani su na slikama od 2. 1. do 2. 4. Na apsisi dijagrama označena su stajališta. Budući da su na svakom stajalištu izvedena 4 mjerena na dijagramu su pojedina mjerena istoga stajališta prikazana tako, da su medusobno malo pomaknuta.

Na sl. 2. 5. prikazane su aritmetičke sredine (\bar{X}_{40}) dnevne promjene na istoj bazi, odvojeno za svaku kombinaciju mjerena. Na sl. 2. 6. prikazane su razlike podataka svakog stajališta s obzirom na dnevne promjene dviju baza (Δ_{40}). Za te su podatke također izračunane vrijednosti \bar{X} , m i M. Na slikama su vidljive razlike kvalitete podataka na pojedinim stajalištima za određenu kombinaciju mjerena.

Da bi se mogla usporediti kvaliteta mjerena između pojedinih kombinacija, na sl. 3. 1. su prikazani podaci $\bar{X}_{\Delta 10}$, $m_{\Delta 10}$, $\bar{X}_{\Delta 20}$ i $m_{\Delta 20}$. Za usporedbu kvalitete očitanja na pojedinom stajalištu i kombinaciji, izračunati su \bar{X} , m i M. Podaci \bar{X}_{m10} , m_{m10} , \bar{X}_{m20} i m_{m20} prikazani su na sl. 3. 2. Na sl. 3. 3. su prikazani $\bar{X}_{\Delta 40}$ i $m_{\Delta 40}$ zajedno za sve četiri kombinacije mjerena.

Interpretacija

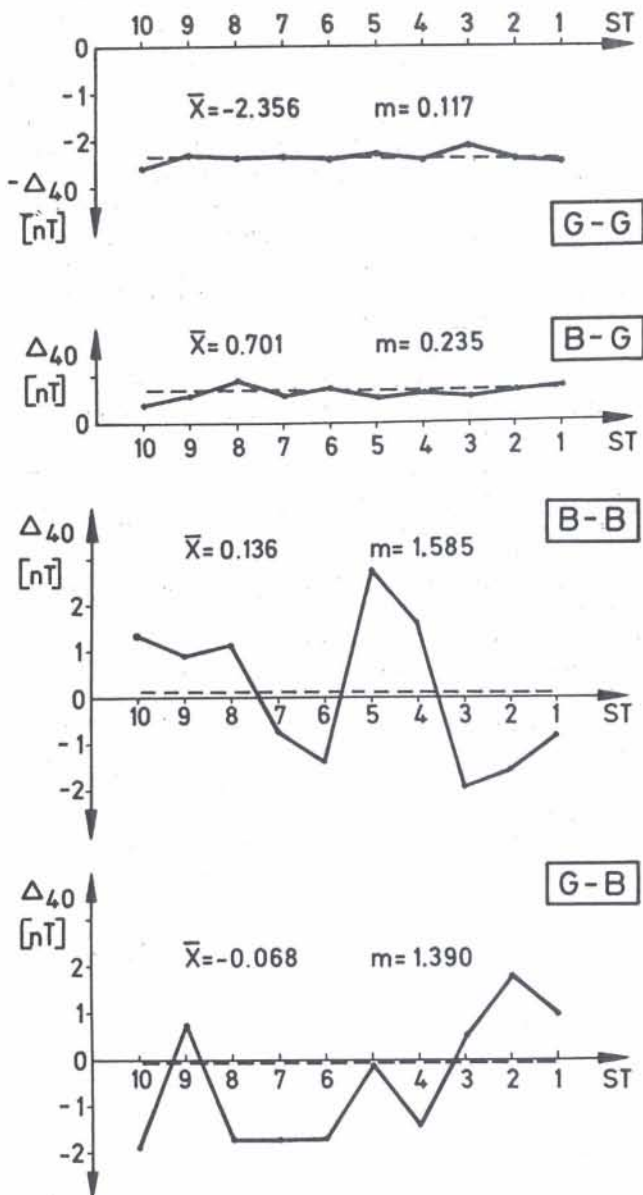
Obrada podataka mjerena i odabir odgovarajućih parametara, kao i njihov grafički prikaz, imali su za svrhu da se njihovom interpretacijom dobije uvid u kvalitetu i pouzdanost svake od primijenjenih kombinacija mjerena.

Iz dijagrama dnevne promjene (sl. 1) vidi se razlika u kvaliteti između kontinuiranog opažanja (sl. 1. 1.) i povremenog opažaja (sl. 1. 2.). To je u praksi još izraženije, kada su razmaci između pojedinih opaža-

nja dnevne promjene i po nekoliko sati. Kvaliteta kontinuiranog mjerena dnevne promjene još više dolazi do izražaja kada se mjerena na terenu i u bazi izvode sinkrono (G-G kombinacija). Krivulja dnevne promjene dobivena mjerenjem povremenim dolaskom na bazu ima samo osnovnu krivulju (dnevni period). Njen izgled ovisi o broju mjerena. Krivulja dnevne promjene mjerena instrumentima uz osnovne krivulje ima periode oscilacije viših frekvencija (sekundne, minutne, pa i satne).

Na slikama od 2. 1. do 2. 4. prikazani su podaci mjerena za svaku kombinaciju odvojeno. Na jednom dijagramu (III) kao aritmetičke sredine uzastopnih mjerena (\bar{X}_{10} i \bar{X}_{20}), a na drugom (I) razlike aritmetičkih sredina Δ_{10} i Δ_{20} . Na drugom dijagramu navedene su i aritmetičke sredine (\bar{X}_{Δ}) i standardne devijacije (m_{Δ}) razlika aritmetičkih sredina (Δ_{10} i Δ_{20}). Usporedbom dijagrama uočljivo je, da su najkvalitetniji podaci za kombinaciju G-G (sl. 2. 1.). Zatim po kvaliteti slijede kombinacije B-G (sl. 2. 3.) i G-B (sl. 2. 4.), dok je najlošija kombinacija B-B (sl. 2. 4.). To je uočljivo i na slici 2. 1. u dijagramu aritmetičkih sredina malom razlikom između \bar{X}_{10} i paralelnosti između mjerena dnevne promjene na dvije baze. Na dijagramu razlika aritmetičkih sredina navedeni zaključak je uočljiv iz njihove raspršenosti, na što ukazuju i vrijednosti standardne devijacije ($m_{\Delta 10}$ i $m_{\Delta 20}$).

Navedena paralelnost podataka \bar{X}_{10} i \bar{X}_{20} za izmjerene dnevne promjene na dvije baze (sl. 2. 1.) očituje se vrlo malim rasipanjem njihovih razlika (Δ_{40}) oko aritmetičke sredine $\bar{X}_{\Delta 40}$ (slike 2. 5 i 2. 6). Različitost aritmetičkih sredina ($\bar{X}_{\Delta 40}$) pojedinih

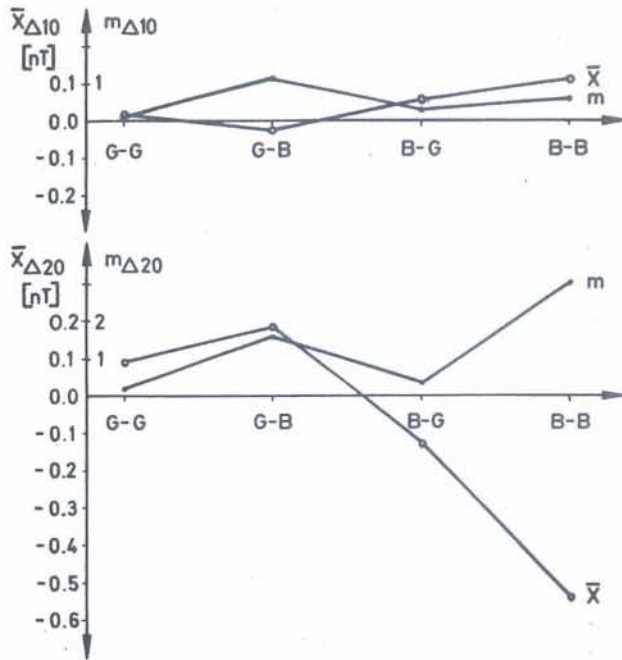


Sl. 2.6 Dijagrami razlika aritmetičkih sredina Δ_{40} izračunatih po stajalištima (ST)

Fig. 2.6 Diagrams of differences Δ_{40} computed on stations (ST)

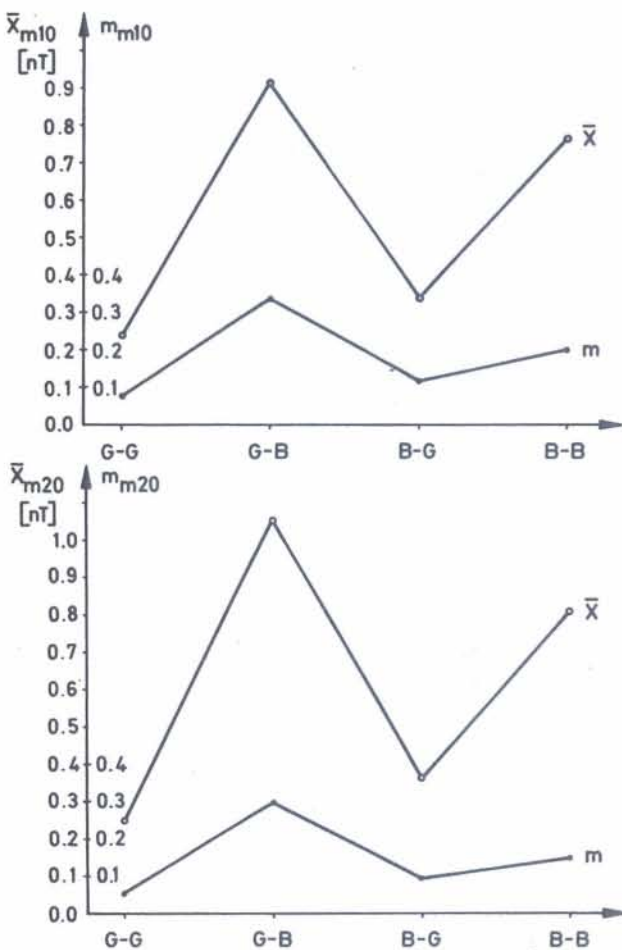
kombinacija uvjetovana je time što pri mjerjenjima i obradi podataka nisu uzete u obzir različitosti u jakosti magnetskog polja (T) u bazama i što nisu baždareni magnetometri, pa nije u računu uzeta u obzir korekcija instrumenata. Prema sl. 2.6 kvaliteta mjerjenja najveća je za kombinaciju G-G ($m_{\Delta 40} = 0.117$), a slabija za kombinaciju B-B ($m_{\Delta 40} = 1.585$). Kombinacija B-B ima najmanji $X_{\Delta 40} = -0.136$, što je posljedica mjerjenja s istim magnetometrom, kao baznim i mobilnim instrumentom. Time na rezultat ne utječe korekcija instrumenata.

U ranije opisanim slikama od 2. 1. do 2. 4. u dijagramima su razlike (I) s ispisanim aritmetičkim sredinama ($\bar{X}_{\Delta 10}$ i $\bar{X}_{\Delta 20}$) i standardne devijacije ($m_{\Delta 10}$ i $m_{\Delta 20}$). Da bi te parametre lakše uspoređivali za razne kombinacije nacrtana je sl. 3. 1, iz koje je uočljiv raniji zaključak redoslijeda kvalitete od G-G do B-B.



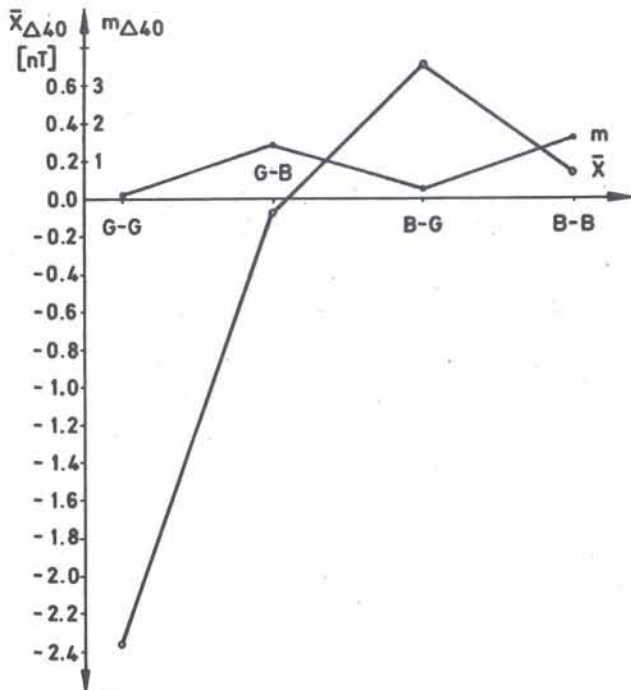
Sl. 3.1 Dijagrami statističkih podataka $\bar{X}_{\Delta 10}$, $m_{\Delta 10}$, $\bar{X}_{\Delta 20}$ i $m_{\Delta 20}$ izračunatih za sva mjerjenja određene kombinacije

Fig. 3.1 Diagrams of statistical data $\bar{X}_{\Delta 10}$, $m_{\Delta 10}$, $\bar{X}_{\Delta 20}$ and $m_{\Delta 20}$ computed for all measurements of a measurements' combination.



Sl. 3.2 Dijagrami statističkih podataka $\bar{X}_{m 10}$, $m_{m 10}$, $\bar{X}_{m 20}$ i $m_{m 20}$ izračunatih za sva mjerjenja određene kombinacije

Fig. 3.2 Diagrams of statistical data $\bar{X}_{m 10}$, $m_{m 10}$, $\bar{X}_{m 20}$ and $m_{m 20}$ computed for all measurements of a measurements' combination



Sl. 3.3 Dijagrami statističkih podataka $\bar{X}_{\Delta 40}$ i $m_{\Delta 40}$ izračunatih za sva mjerena odredene kombinacije

Fig. 3.3 Diagrams of statistical data $\bar{X}_{\Delta 40}$ and $m_{\Delta 40}$, computed for all measurements of a measurements' combination

Za svaku kombinaciju mjerena izračunata je kvaliteta izmijerenih podataka od srednjih pogrešaka jednog mjerena (m_{10} i m_{20}), njihova aritmetička sredina (\bar{X}_{m10} i \bar{X}_{m20}) i standardna devijacija (m_{m10} i m_{m20}). Ti rezultati prikazani su na sl. 3. 2. I tim postupkom također se može izvesti isti zaključak o kvaliteti kombinacija kao i iz prethodnih izlaganja.

Brojčani podaci iz sl. 2. 6. ($\bar{X}_{\Delta 40}$ i $m_{\Delta 40}$) grafički su prikazani na sl. 3. 3, s istim zaključkom o kvaliteti pojedinih kombinacija.

Zaključak

U radu su obrađeni podaci mjerena dobiveni s dva protonska magnetometra, GSM-18 (G) i GEM 122 (B), koji su konstruirani na principu nuklearne magnetske rezonancije, a razlikuju se u izvedbi.

Nakon analize i procjene težine pojedinih parametara s kojom oni utječu na redoslijed kvalitete korištenih kombinacija, može se zaključiti da je mjereno G-G kombinacijom (instrument u bazi – mobilni instrument) najkvalitetnije i potpuno pouzdano

($m_{\Delta 40} = 0.117$). To je rezultat točnosti i osjetljivosti instrumenata G. Osim toga, instrumenti G imaju mogućnost da u zajedničkom radu (kao bazni i mobilni) mogu opažanja izvoditi sinhrono. Uz tu kvalitetu skraćen je i pojednostavljen dugotrajni račun korekcije podataka. Mjerena tim instrumentima su jednostavna, kvalitetna i brza. Uz brzu obradu podataka mjerena i njihovim memoriranjem izbjegava se mogućnost pogreške u zapisniku. Zbog toga kombinacija mjerena s ta dva instrumenta ima značajnu prednost u praktičnoj primjeni.

Imamo li na raspolaganju jedan instrument G i jedan B povoljnija je kombinacija B-G. Mjerena provedena ovom kombinacijom su pouzdana, i mogu se preporučiti za primjenu.

Preostale dvije kombinacije (G-B i B-B) nisu toliko pouzdane i kvalitetne. Teško je odrediti koja od njih je kvalitetnija. Analizirajući dobivene parametre jedan njihov dio ukazuje na bolju kvalitetu jedne kombinacije, a drugi daje prednost drugoj kombinaciji.

Izvore pogrešaka treba tražiti u različitoj kvaliteti instrumenata, njihovoj međusobnoj nekalibriranosti, a naročito načinu mjerena dnevne promjene.

Na temelju dobivenih rezultata možemo zaključiti da se odgovarajućom metodom mjerena, obradom i kvalitetom, oba modela mogu koristiti za zajednička mjerena.

Iako postoje razlike u kvaliteti mjerena pojedinim kombinacijama, one su sve u granicama koje zadovoljavaju kvalitetu uobičajenih mjerena u praksi (Brodovoj et al., 1980).

Primljeno: 22. II. 1993.

Prihvaćeno: 27. V. 1993.

LITERATURA

- Breiner, J. (1973): Applications manual for portable magnetometers. Geo Metrics, 58 pp, Sunnyvale
- Brodovoj, V. V., Dobrohotova, I. A., Kovalenko, N. D., Ljahov, L. L., Jakubovskij, Ju. V. (1980): Rukovodstvo po učebnoj geofizičeskoj praktike. Nedra, 161 pp, Moskva
- Čubranić, N. (1958): Račun izjednačenja. Tehnička knjiga, 211 pp, Zagreb
- Hrvoić, I. (1972): Mjerje slabih magnetskih polja dinamičkom polarizacijom protona. Disertacija, Elektrotehnički fakultet Sveučilišta u Zagrebu, 154 pp, Zagreb
- Hrvoić, I. (1987): GSM-18 proton precession magnetometer instruction manual. GEM systems, Inc., 31 pp, Richmond Hill
- Macarol, S. (1950): Praktična geodezija. Tehnička knjiga, 543 pp, Zagreb

Magnetic Exploration by the Combination of Different Magnetometers*T. Gregl and Ž. Zagorac*

An analysis is made of the magnetic measurement's quality and of the possibility to use two proton magnetometers of different designs simultaneously. These are the model GSM-18 of GEM systems Inc. (G) and GS-122 produced by Barringer Research Ltd. (B), both from Canada. Both magnetometers are based on the principle of the nuclear magnetic resonance, but there are differences in the design.

In magnetic measurements there is a problem of how to determine and correct the effect of daily variation of the magnetic field. In models GSM-18 the problem is solved by using two instruments: one of them is mobile and used for measurements on the station in the field, and the other one is used on the base station to record daily variation. Before the measurements the magnetometers are adjusted to make the readings in the field

at exactly the same time as on the base. Model GM-122 is not designed for programmed synchronous measurements.

Two instruments GSM-18 and one GM-122 were available. The analysis of measurements was made for the combinations of the base and the mobile instrument: a) both instruments GSM-18 (G-G), b) GSM-18 and GM-122 (G-B, B-G) only one instrument GM-122 (B-B).

Results of measurements and data analysis show, that the highest quality of results is obtained using two instruments GSM-122 (G-G). This is due to their higher sensitivity and accuracy, possibility of synchronous measurements, programmable work and memorizing.

Other combinations are of less quality, but they are within the range of accuracy satisfying most practical needs.